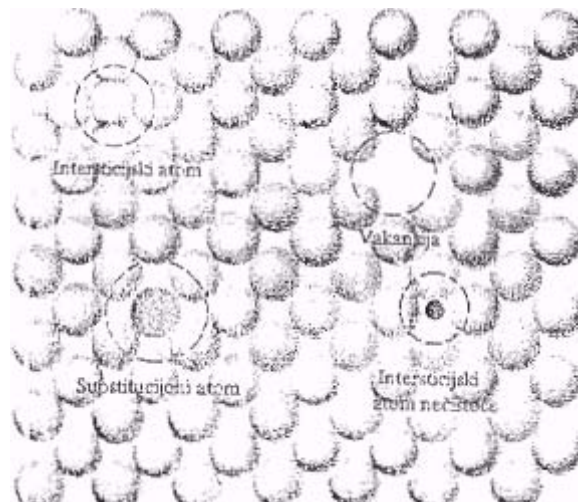


GREŠKE KRISTALNE REŠETKE

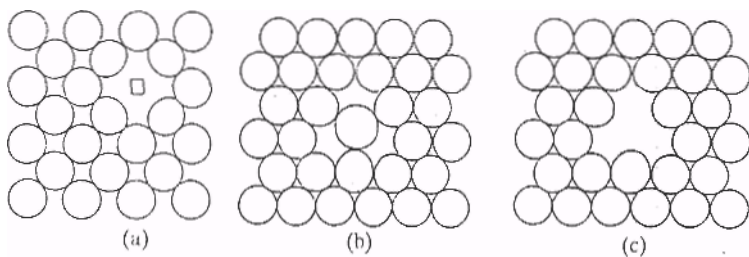
tačkaste; linjske (dislokacije); površinske

Tačkaste nesavršenosti *vakansije (praznine), supstitucijski atom (zamenjen atom), intersticijski atom (umetnuti atom), intersticijski atom nečistoće*

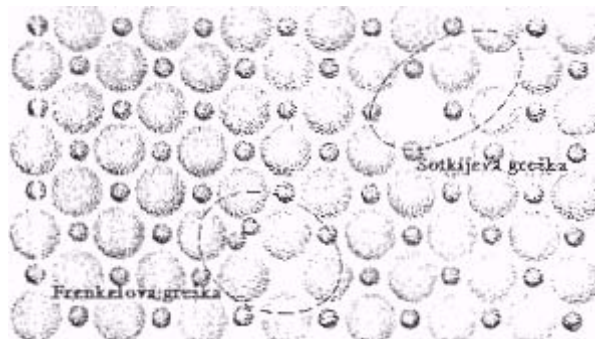


Slika – Dvodimenzionalni prikaz sa mogućim tačkastim greškama kristalne rešetke.

di-vakansija, tri-vakansija



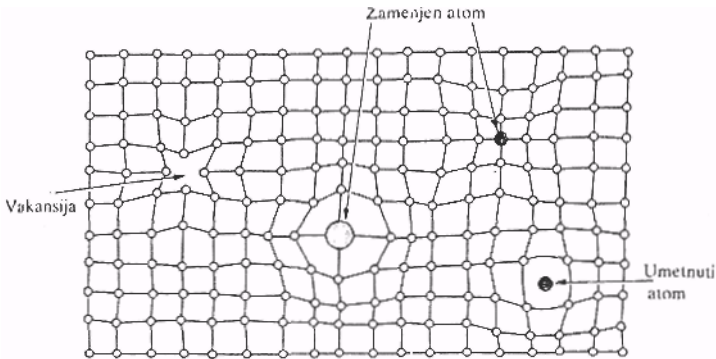
Slika – Tačkaste greške: (a) vakansije; (b) di-vakansije; (c) tri-vakansije



Slika – Dvodimenzionalni prikaz jonski uređenog čvrstog tela sa Frenkelovom i Šotkijevom greškom. Katjoni su prikazani malim sferama, a anjoni velikim.

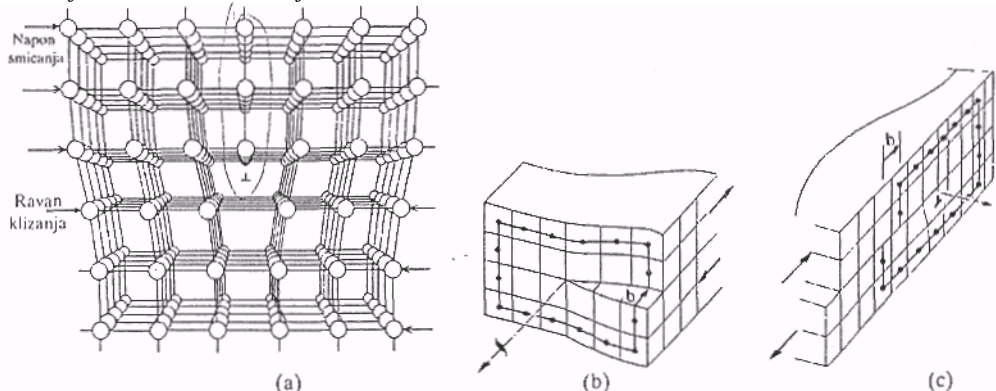
Frenkelova greška, Šotkijeva greška

Linijske nesavršenosti dislokacije



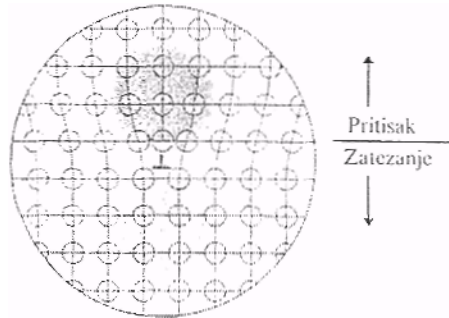
Slika – Iskrivljenost kristalne rešetke na mestima tačkastih grešaka.

ivične i zavojne, složene dislokacije, ekstra-ravan



Slika – (a) Ivična dislokaciju; (b) Burgersov vektor zavojne dislokacija; (c) Burgersov vektor ivične dislokacije

vektor klizanja (b), ili Burgersov vektor

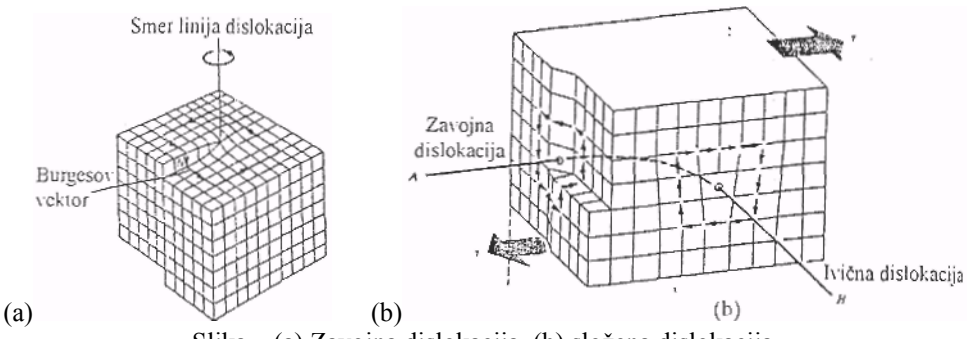


Slika – Polje napona u okolini ivične dislokacije

gustina dislokacija ρ :

ukupna dužina dislokacija l (cm) koja dolazi na jedinicu zapremine kristala v (cm^3), tj.

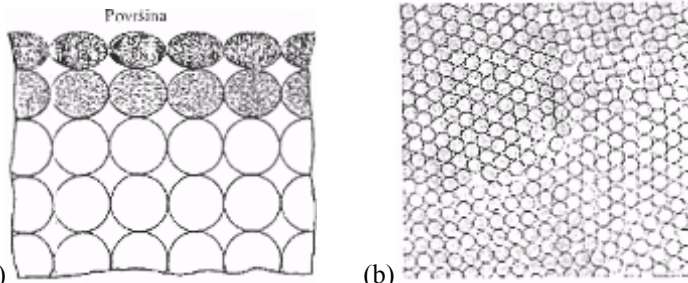
$$\rho = \sum l / v \quad (\text{cm}^{-2})$$



Slika – (a) Zavojna dislokacija, (b) složena dislokacija

Površinske greške

spoljne granične površine, granica metalnog zrna

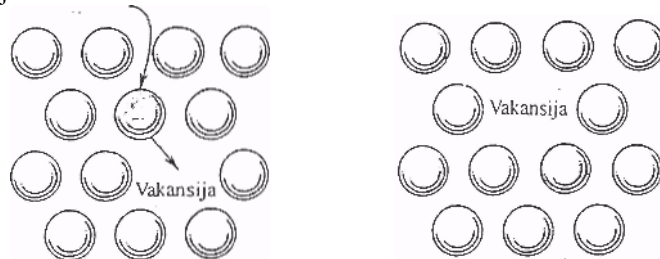


Slika – (a) Šematski prikaz atoma na graničnoj površini; (b) granice metalnog zrna

DIFUZIJA

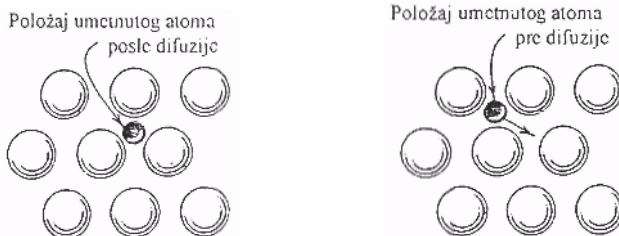
difuzija i samodifuzija, vakansijski (supstitucijski) mehanizam, intersticijski mehanizam energije aktivacije

Kretanje atoma



Slika – Vakansijski mehanizam difuzije

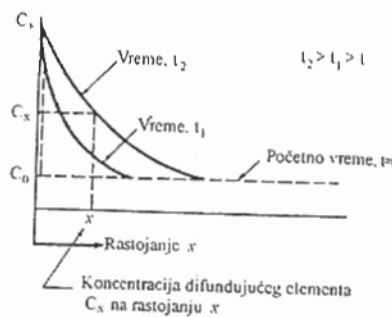
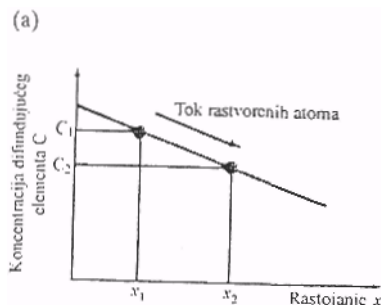
Difuzija kod metala i legura: kroz zapreminu; po granicama metalnog zrna



Slika – Intersticijski mehanizam difuzije

stacionarni sistem difuzije, brzina difuzije, maseni tok
prvi Fikov (Fick) zakon difuzije, koeficijent difuzije

(b)



Slika – (a) Stacionarni sistem difuzije, (b) nestacionarni sistem difuzije

Prvi Fikov zakon difuzije: za stacionarno stanje difuzije, brzina difuzije atoma rastvorenog elementa među atomima posmatrane materije meri se masenim tokom J , definisan kao broj atoma koji prolaze kroz jedinicu površine, normalne na pravac toka, u jedinici vremena. Maseni tok atoma J (atom/m²s), proporcionalan je gradijentu koncentracije ($C_2 - C_1 / x_2 - x_1$) (atom/m³m),

$$J = -D \frac{dC}{dx}$$

Koeficijent proporcionalnosti D (m²/s) je koeficijent difuzije.

Tabela – Vrednosti koeficijenta difuzije

Rastvoren element	Osnovni element	Koeficijent difuzije, D (m²/s)	
		500°C	1000°C
Ugljenik	Železo (KPC)	5×10^{-15}	3×10^{-11}
Ugljenik	Železo (KZC)	10^{-12}	2×10^{-9}
Železo	Železo (KPC)	2×10^{-23}	2×10^{-16}
Železo	Železo (KZC)	10^{-20}	3×10^{-14}
Nikal	Železo (KPC)	10^{-23}	2×10^{-16}
Magnezijum	Železo (KPC)	3×10^{-24}	10^{-16}
Bakar	Bakar	10^{-18}	2×10^{-13}
Bakar	Aluminijum	4×10^{-14}	10^{-10}
Srebro	Srebro (kristal)	10^{-17}	10^{-12}
Srebro	Srebro (granica zrna)	10^{-11}	
Ugljenik	Titan (HGP)	3×10^{-16}	2×10^{-11}

Zavisnost koeficijenta difuzije od temperature
energija aktivacije, koeficijent proporcionalnosti

Koeficijent difuzije na različitim temperaturama mnogih materijala može se odrediti jednačinom:

$$D = D_o e^{-Q/RT}$$

gde je: D –koeficijent difuzije (m²/s); D_o –koeficijent proporcionalnosti (m²/s), (ne zavisi od temperature); Q –energija aktivacije (J/mol); R –gasna konstanta, 8,314 (J/mol K); T –temperatura (K).

Tabela – Vrednosti koeficijenta proporcionalnosti i energije aktivacije za neke difuzione sisteme

Rastvoren element	Element rastvarač	D_o (m ² /s)	Q (kJ/mol)
Ugljenik	Železo (KPC)	$2,0 \times 10^{-5}$	142
Ugljenik	Železo (KZC)	$22,0 \times 10^{-5}$	122
Železo	Železo (KPC)	$2,2 \times 10^{-5}$	268
Železo	Železo (KZC)	$20,0 \times 10^{-5}$	240
Nikal	Železo (KPC)	$7,7 \times 10^{-5}$	280
Magnezijum	Železo (KPC)	$3,5 \times 10^{-5}$	282
Bakar	Aluminijum	$1,5 \times 10^{-5}$	126
Bakar	Bakar	$2,0 \times 10^{-5}$	197
Srebro	Srebro	$1,0 \times 10^{-5}$	184
Ugljenik	Titan (HGP)	$51,0 \times 10^{-5}$	182

Nestacionarni sistem difuzije, *drugi Fikov zakon*

Nestacionarni sistem difuzije: gradijent koncentracije se menja sa promenom vremena, slika na str. 3, i određen je drugim Fikovim zakonom:

$$\frac{dC_x}{dt} = \frac{d}{dx} \left(D \frac{dC}{dx} \right) = D \frac{d^2C}{dt^2}$$

Rešavanje gornje diferencijalne jednačine, za određene granične uslove difuzije:

$$\frac{C_s - C_x}{C_s - C_o} = fgg\left(\frac{x}{2\sqrt{Dt}}\right)$$

gde su: C_s –koncentracija elementa na površini; C_o –početna koncentracija elementa u čvrstom telu; C_x –koncentracija elementa na rastojanju x u vremenu t ; x –rastojanje od površine; D –koeficijent difuzije; t –vreme; fgg –Gausova funkcija greške.

DEFINICIJE:

Jezgra kristalizacije: male čvrste čestice nastale očvršćavanjem tečne faze, a rastu sve dok se ne završi očvršćavanje.

Embrion: mala čestica čvrste faze nastala očvršćavanjem tečne faze, koja nije dostigla kritični prečnik i koja se ponovo rastvara u tečnoj fazi.

Kritični poluprečnik R_k : minimalni poluprečnik jezgra stvorene čvrste faze koja dalje raste u stabilno jezgro.

Homogena jezgra kristalizacije: formiranje jezgra kristalizacije u čistom metalu od sopstvenih atoma.

Heterogena jezgra kristalizacije: formiranje jezgra kristalizacije na površinama i česticama primesa u tečnoj fazi.

Metalna zrna: poseban kristal u polikristalnoj strukturi metala.

Granica metalnog zrna: zona sa nepravilnim rasporedom atoma između dva susedna zrna.

Veličina metalnog zrna: prosečan broj metalnih zrna po jedinici površine pri određenom uveličanju.

Monokristal: kristal čiji se pravilan raspored atoma ponavlja po celoj zapremini bez prekida.

Vakansija: nedostatak atoma u rešetki na mestu gde se očekuje da normalno postoji.

Supstitucijski atom primese: tačkasta greška u kojoj atom druge materije zauzima mesto osnovnog atoma.

Intersticijski atom primese: tačkasta greška u kojoj se atom druge materije smešta u prostor između atoma osnove.

Intersticijski atom: tačkasta greška u kojoj se atom iste vrste kao osnova smešta u prostor između drugih atoma osnove.

Frenkelova greška: tačkasta greška u kojoj je katjonska vakansija povezana sa intersticijskom katjonskom, u jonskom kristalu.

Šotkijeva greška: tačkasta greška u kojoj je katjonska vakansija povezana sa anjonskom u jonskom kristalu.

Dislokacija: greška kristalne rešetke kod koje je iskrivljenost rešetke usredsređena po liniji. Dislokacije mogu bili ivične, zavojne i kombinovane ivično-zavojne.

Samodifuzija: premeštanje atoma u čistom metalu.

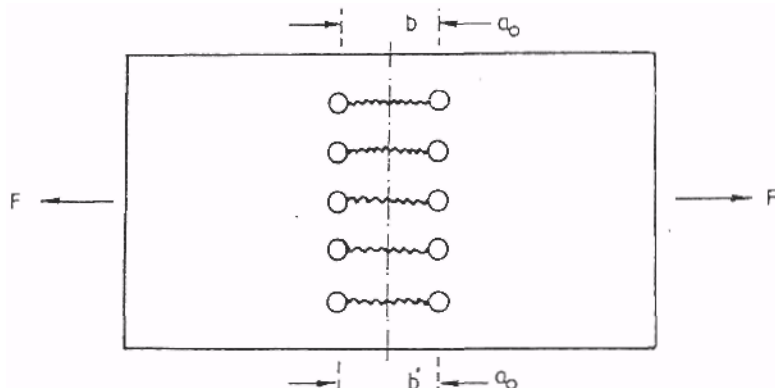
Vakansiska difuzija (supstitucijska): difuzioni mehanizam po kome se atomi premeštaju iz svog položaja u rešetki u položaj susedne vakansije.

Intersticijska difuzija: difuzioni mehanizam po kome se atomi iz jednog intersticijskog položaja premeštaju u drugi intersticijski položaj.

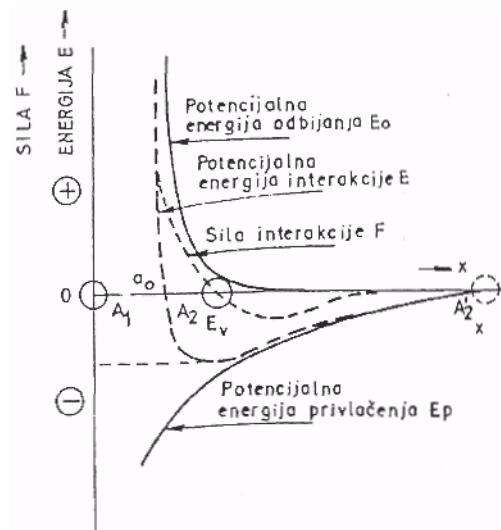
Difuzija kroz zapreminu: kretanje atoma kroz metalno zrno polikristalnog materijala.

LOMOVI

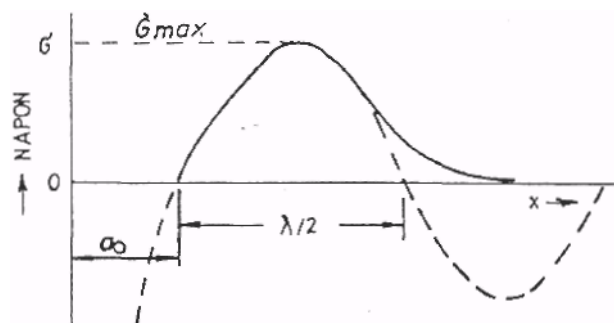
TEORIJSKA KOHEZIONA ČVRSTOĆA



Slika – Model idealnog kristala

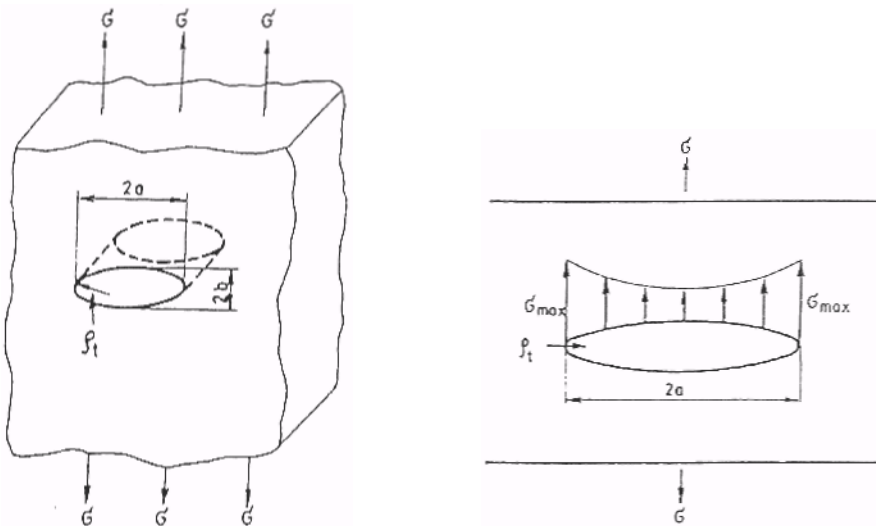


Slika – Promena sile i energije u kristalnoj rešetki sa promenom rastojanja između atoma



Slika – Promena napona sa promenom međuatomskog rastojanja

Hukov zakon, površinski napon, teorijska koheziona čvrstoća ili teorijska čvrstoća loma

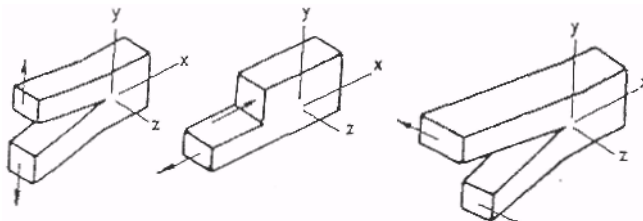


Slika – Ploča sa eliptičnom prslinom

stvarna čvrstoća loma

Osnovni elementi mehanike loma

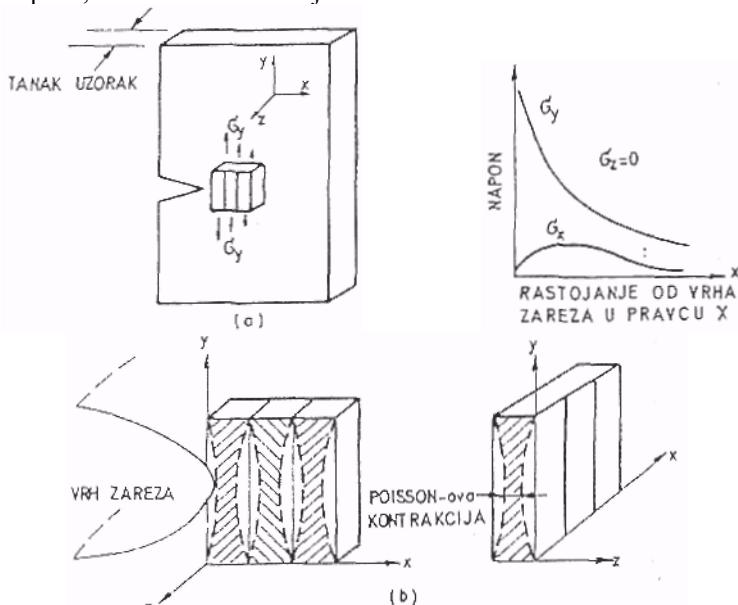
čvrstoća loma, dužina prsline, *Grifitova jednačina*, *Irvinova jednačina*



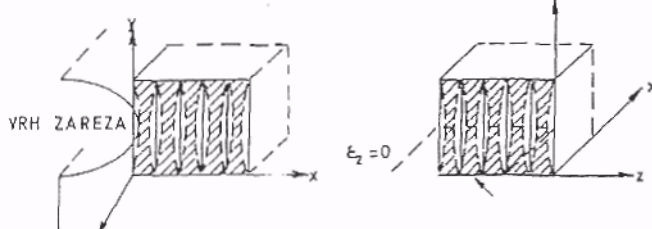
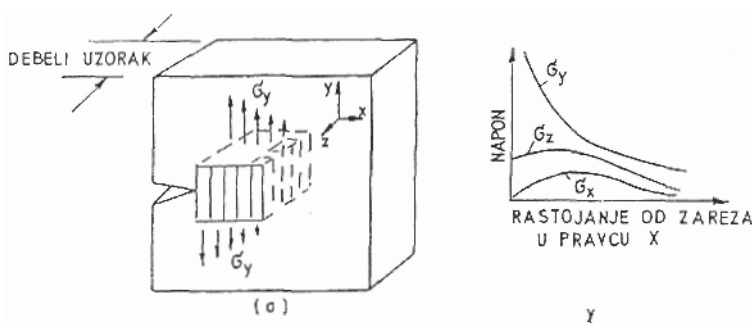
Slika – Modeli otvaranja prsline

USLOVI ZA KRTI LOM

faktor intenziteta napona, žilavost loma materijala

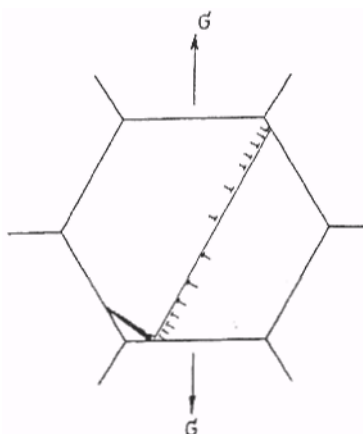


Slika – Ravansko stanje napona u tankom uzorku

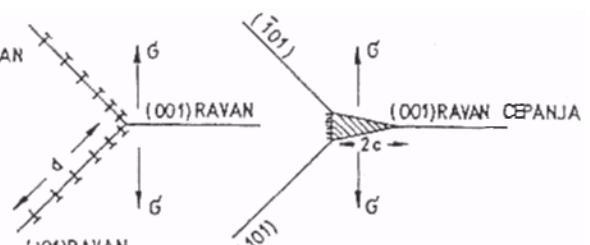


Slika – Ravanska deformacija u uzorku veće debljine

Dislokacioni mehanizmi krtog loma



Slika – Strohov model krtog loma

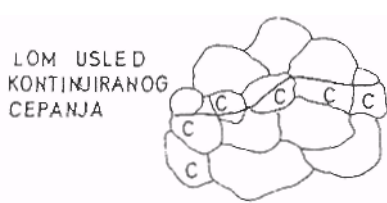


Slika – Kotrellov dislokacioni model krtog loma

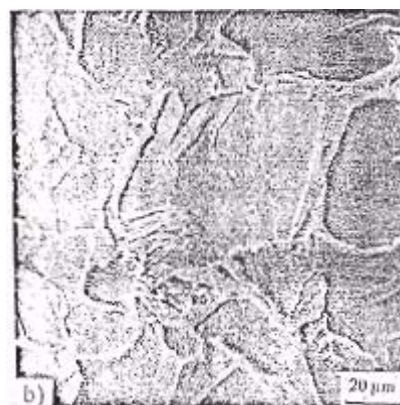
mehanizam cepanja, ravan cepanja

MIKROSKOPSKE I MAKROSKOPSKE KARAKTERISTIKE KRTOG LOMA

transkristalni krti lom, interkristalni krti lom



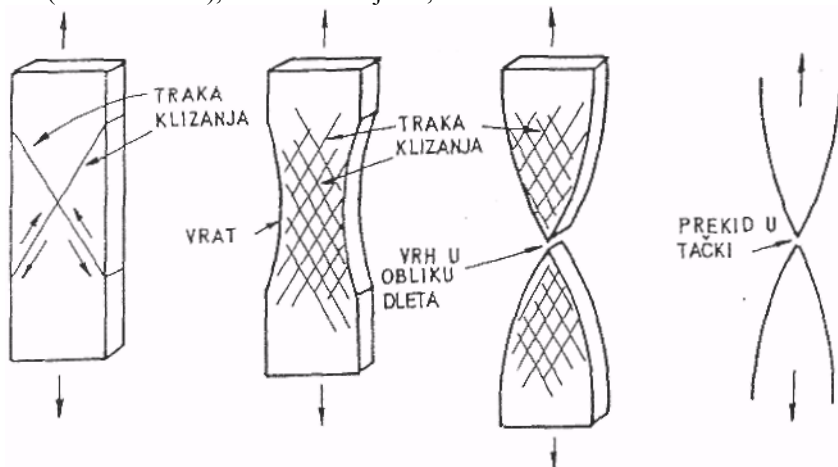
a)



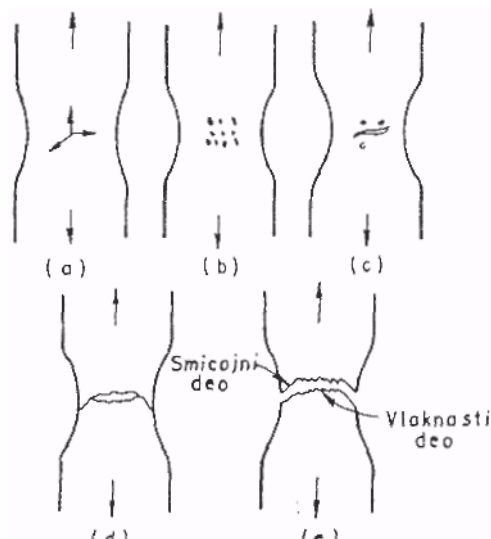
Slika – Promena pravca kretanja krte prsline: a) šematski, b) u čeliku

MAKROSKOPSKE I MIKROSKOPSKE KARAKTERISTIKE DUKTILNOG LOMA

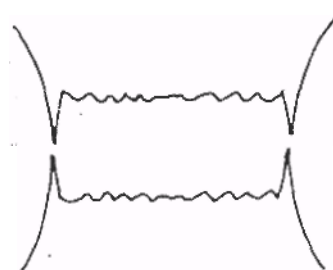
sekundarne faze (fine i masivne), nemetalni uključci, vrat



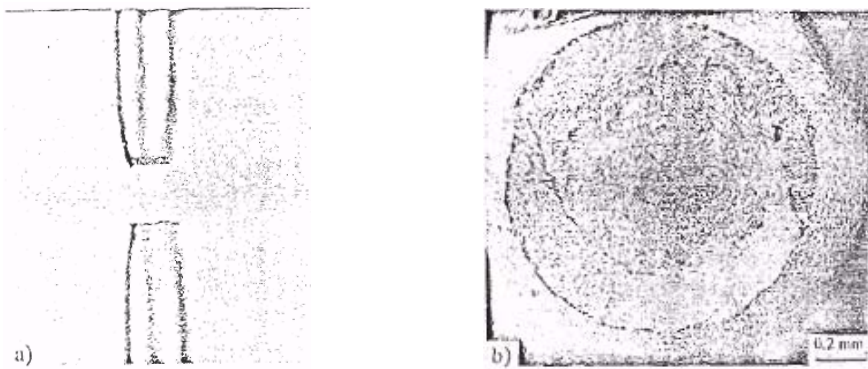
Slika – Prekid izazvan višestrukim klizanjem



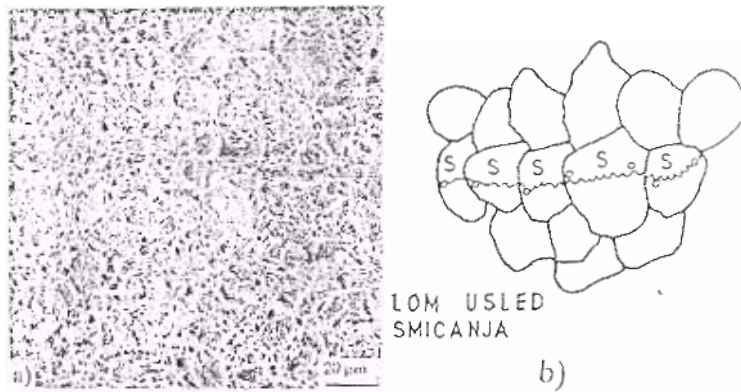
Slika – Šema duktilnog loma u obliku čaše i kupe



Slika – Duktilni lom u obliku dvostrukе čaše



Slika – a) zatezna epruveta, b) duktilni lom u obliku čaše i kupe

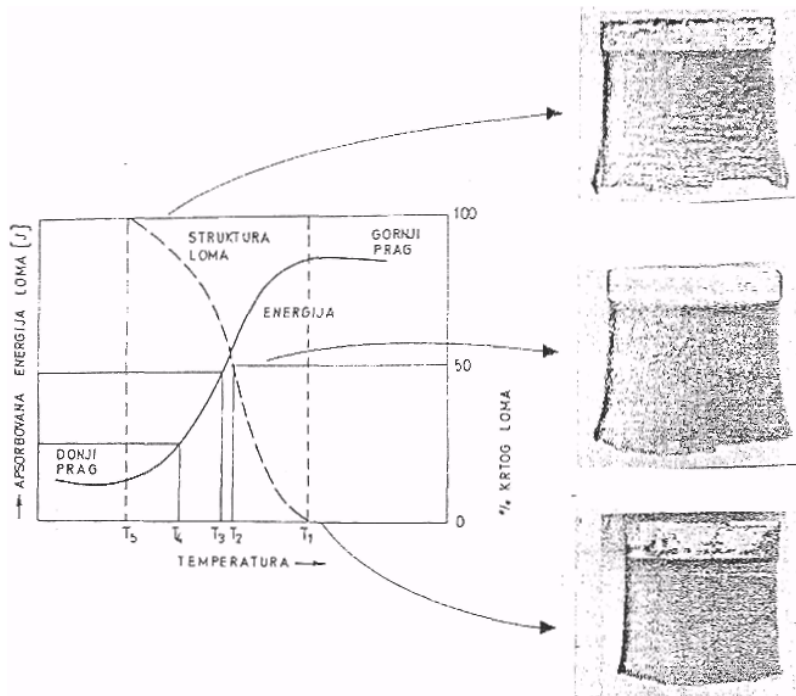


Slika – Transkristalni duktilni lom: a) u čeliku, b) šema

mehanizam dekohezije, koalescencija mikrošupljina, smicajna dekohezija, mešovit lom, mehanizam kvazi-cepanja

PRELAZNA TEMPERATURA

Šarpi epruvete



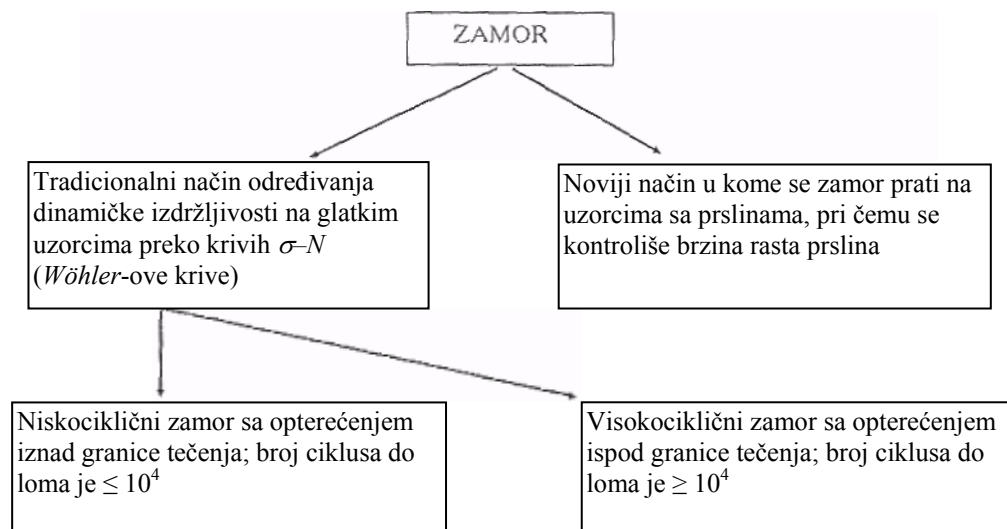
Slika – Uticaj temperature na apsorbovanu energiju i ideo krtog loma na površini preloma

prelazne temperature: T_1 ; T_2 ; T_3 ; T_4 ; T_5

ZAMOR

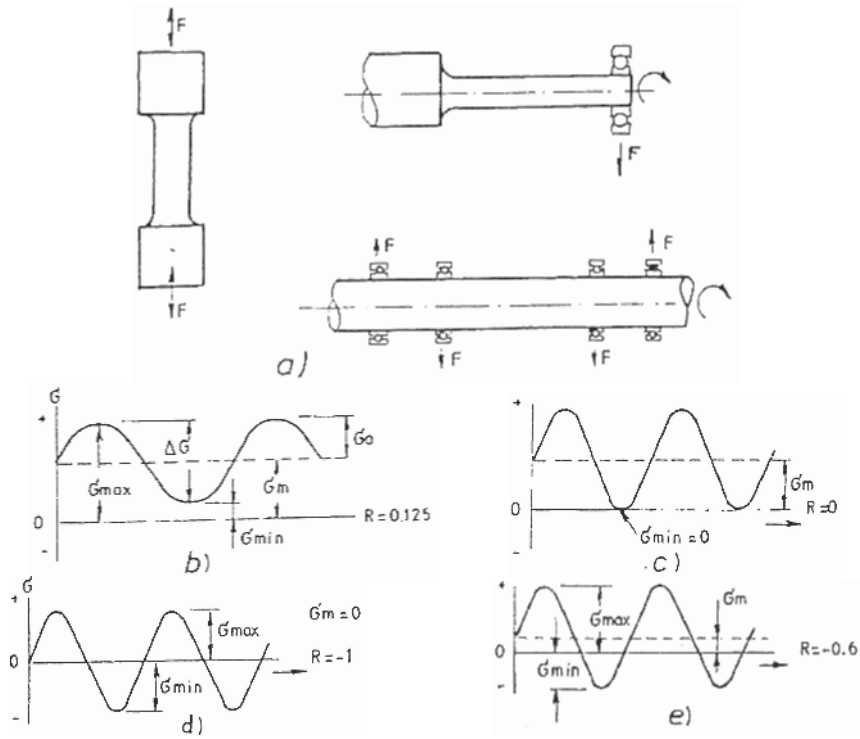
zamorni lom, dinamička izdržljivost

Velerova kriva



Slika – Vrste zamora

Zamor na uzorcima bez prslina

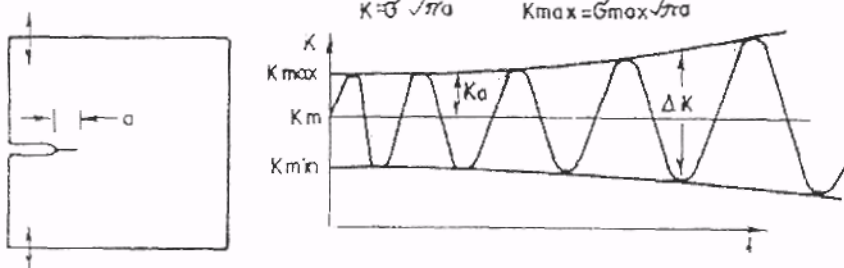


Slika – Zamor na uzorcima bez prslina

Visokociklični zamor (*Baskinov zakon*)

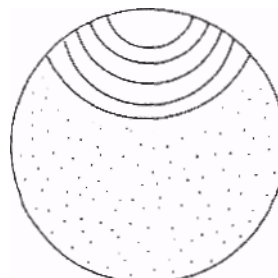
Niskociklični zamor (*Kofin-Mansonov zakon*)

Zamor na uzorcima sa prslinom

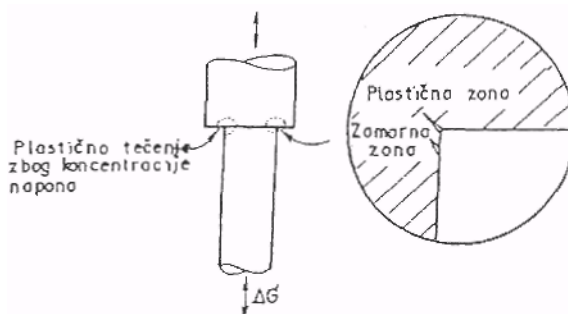


Slika – Rast zamorne prsline

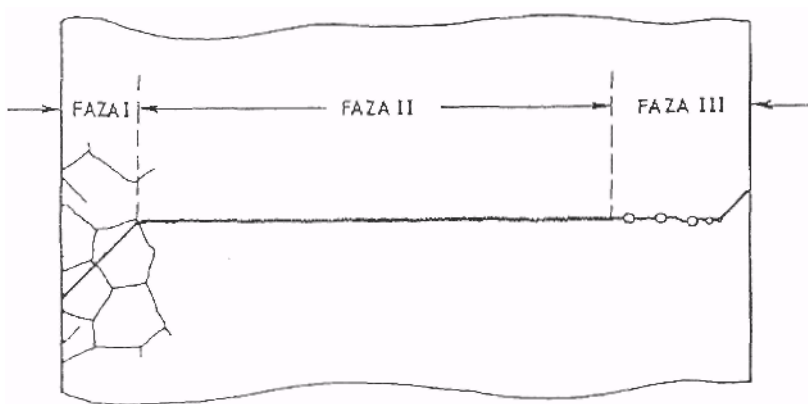
Makroskopske i mikroskopske karakteristike zamornog loma



Slika – Zamorni lom (šema)



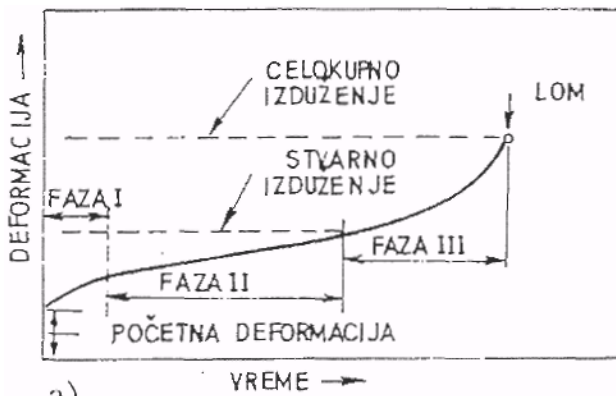
Slika – Stvaranje zamorne prsline na mestima koncentracije napona



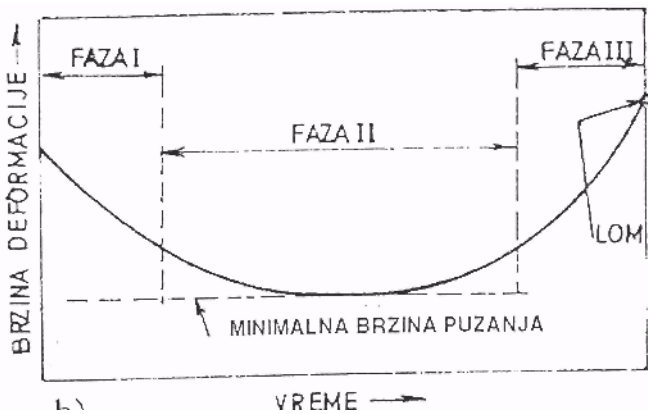
Slika – Faze zamornog loma (šema)

LOM NA POVIŠENIM TEMPERATURAMA

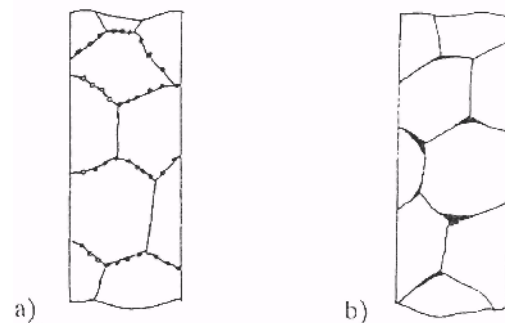
puzanje, mehanizam kretanja dislokacija uspinjanjem i spuštanjem, poprečno klizanje, mehanizmi plastične deformacije, klizanje po granicama zrna i difuziono puzanje, oporavljanje, rekristalizacija, rast zrna, rastvaranje disperznih faza, prekomerna oksidacija



Slika – kriva puzanja sa tri stadijuma puzanja



Slika – brzina puzanja



Slika – Mikrošupljine na granicama zrna: a} sferne; b) klinaste